

# Clasificación de facies aplicando SVM y propiedades petrofísicas














Macropera 331, Campo Coyotes

Dr. Manuel Romero Salcedo

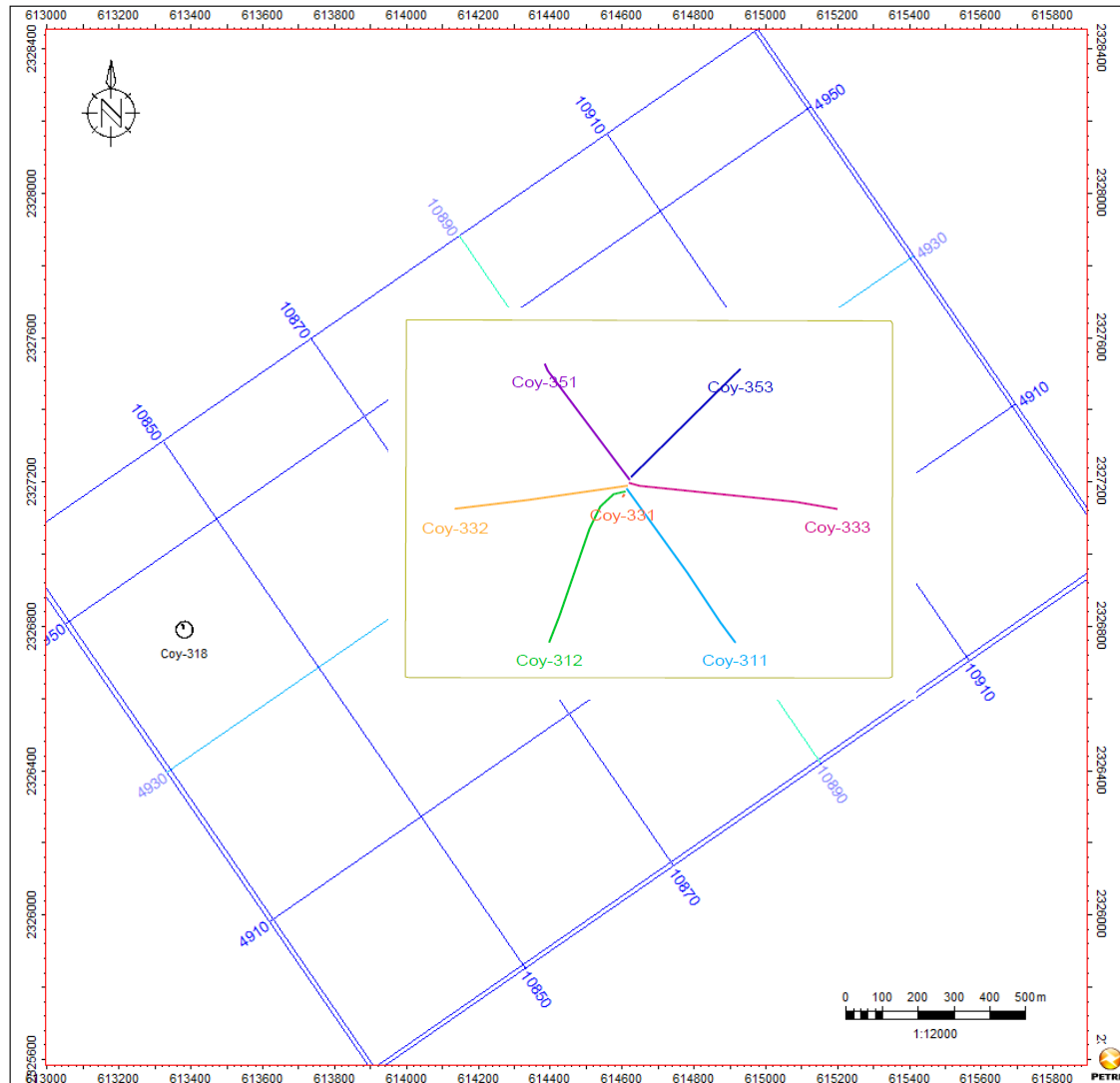
Dr. Martín A. Díaz Viera

- Almacenamiento de imágenes.
- Comportamiento facies adyacentes.
- Realización de otro experimento
  - Predicción de 4 pozos, usando 1 pozo para entrenamiento (C-351);
- Generación de bitácora de resultados.
- Búsqueda de artículos relacionados.

# Almacenamiento de imágenes de resultados

📁 << Usuarios >> mromeros >> Clasificación electrofacies Coyotes >> Predicciones >> Gráficas					Buscar en Gráficas 🔍	
Usuarios mromeros Clasificación electrofacies Coyotes Predicciones Gráficas	<input type="checkbox"/>	Nombre	Fecha	Tipo	Tamaño	Etiquetas
	<input checked="" type="checkbox"/>	 Comparación_facies_311.png	29/05/2017 10:36 a. m.	Archivo PNG	1,372 KB	
	<input type="checkbox"/>	 Comparación_facies_318.png	25/05/2017 12:00 p. m.	Archivo PNG	1,174 KB	
	<input type="checkbox"/>	 Comparación_facies_332.png	29/05/2017 10:46 a. m.	Archivo PNG	1,172 KB	
	<input type="checkbox"/>	 Comparación_facies_353.png	29/05/2017 11:42 a. m.	Archivo PNG	1,044 KB	
	<input type="checkbox"/>	 Coyotes 311_Predicción.png	25/05/2017 12:00 p. m.	Archivo PNG	1,376 KB	
	<input type="checkbox"/>	 Coyotes 318_Facies.png	29/05/2017 10:39 a. m.	Archivo PNG	1,171 KB	
	<input type="checkbox"/>	 Coyotes 318_Predicción.png	26/05/2017 12:44 p. m.	Archivo PNG	1,170 KB	
	<input type="checkbox"/>	 Coyotes 332_Predicción.png	25/05/2017 12:00 p. m.	Archivo PNG	1,174 KB	
	<input type="checkbox"/>	 Coyotes 351_Facies.png	25/05/2017 12:00 p. m.	Archivo PNG	1,138 KB	
	<input type="checkbox"/>	 Coyotes 353_Predicción.png	25/05/2017 12:00 p. m.	Archivo PNG	1,045 KB	
	<input type="checkbox"/>	 Distribución de datos de entrenamiento.png	25/05/2017 01:59 p. m.	Archivo PNG	111 KB	
al (C:)	<input type="checkbox"/>	 Gráfica cruzada multicurva.png	25/05/2017 01:55 p. m.	Archivo PNG	2,113 KB	
al (D:)	<input type="checkbox"/>	 Selección del modelo de predicción.png	25/05/2017 01:57 p. m.	Archivo PNG	485 KB	
raible (J:)						

# Arreglo de pozos de la Macropera 331, Campo Coyotes



# Facies, simbología y códigos de colores

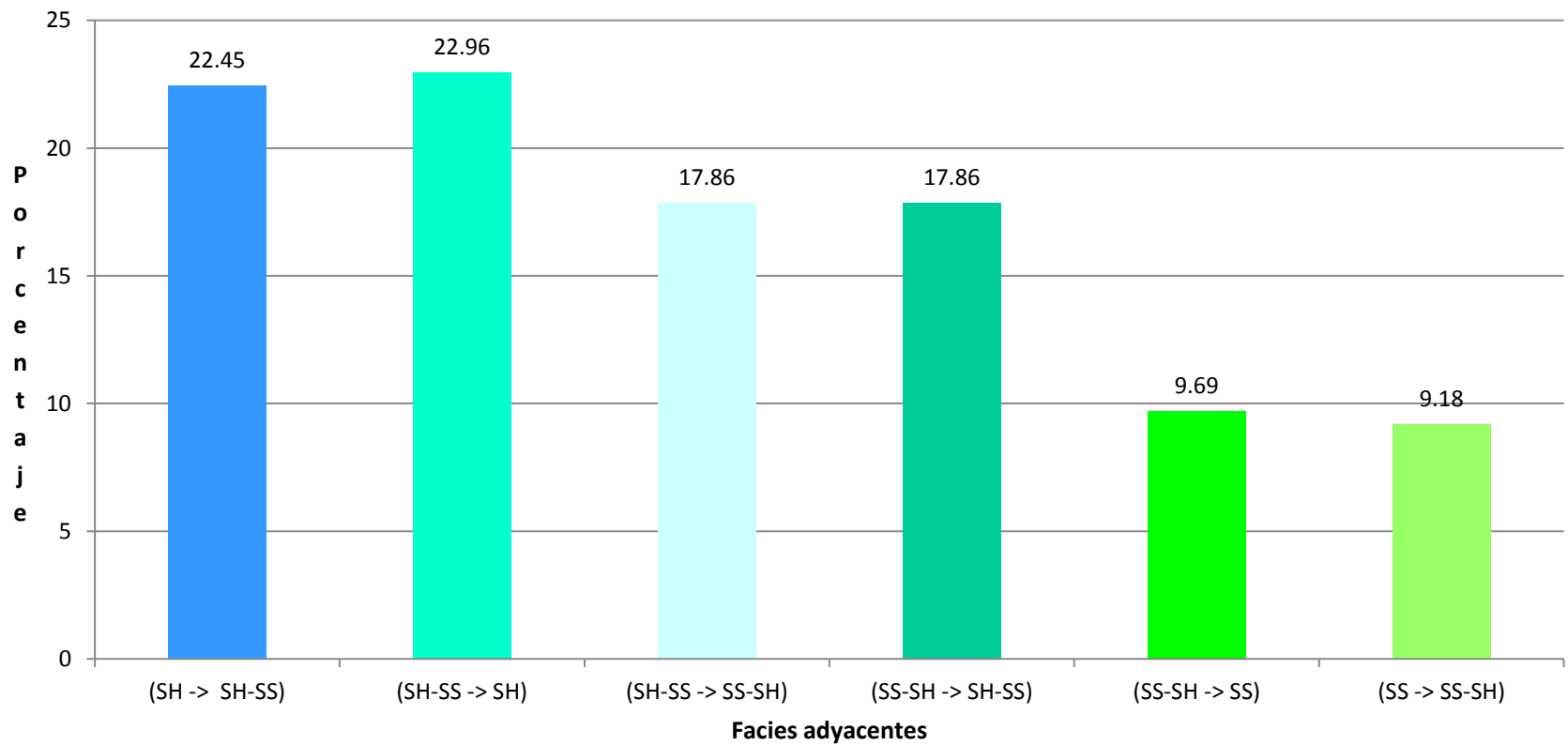
No.	Electrofacies	Simbología	Color
1	Arenas	SS	Amarillo
2	Arenas con lutita	SS-SH	Naranja
3	Lutitas con arena	SH-SS	Verde claro
4	Lutitas	SH	Verde oscuro

# Facies adyacentes

No	Simbología	Facies adyacente
1	SS	2
2	SS-SH	1,3
3	SH-SS	2,4
4	SH	3

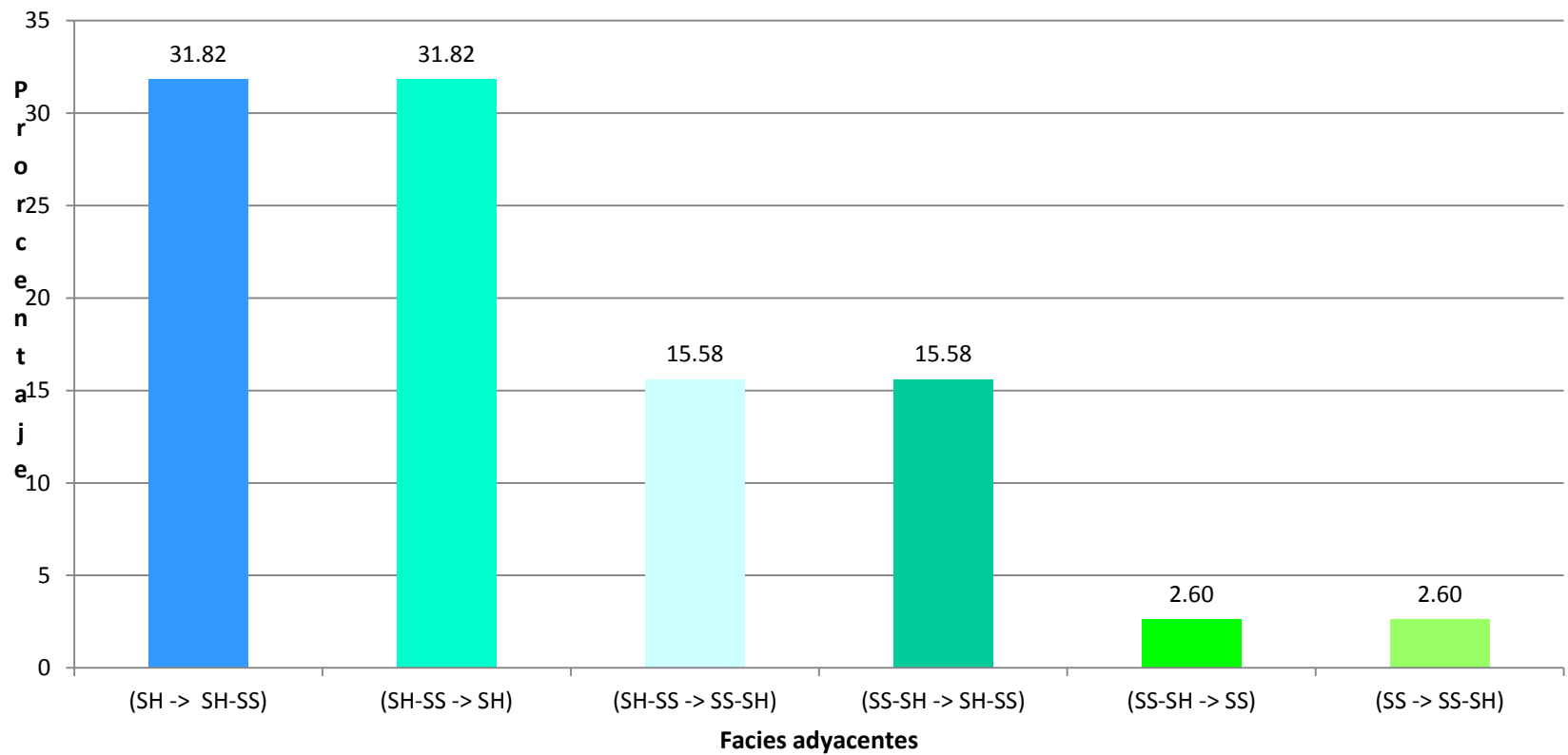
# Comportamiento facies adyacentes

**C-311**



# Comportamiento facies adyacentes

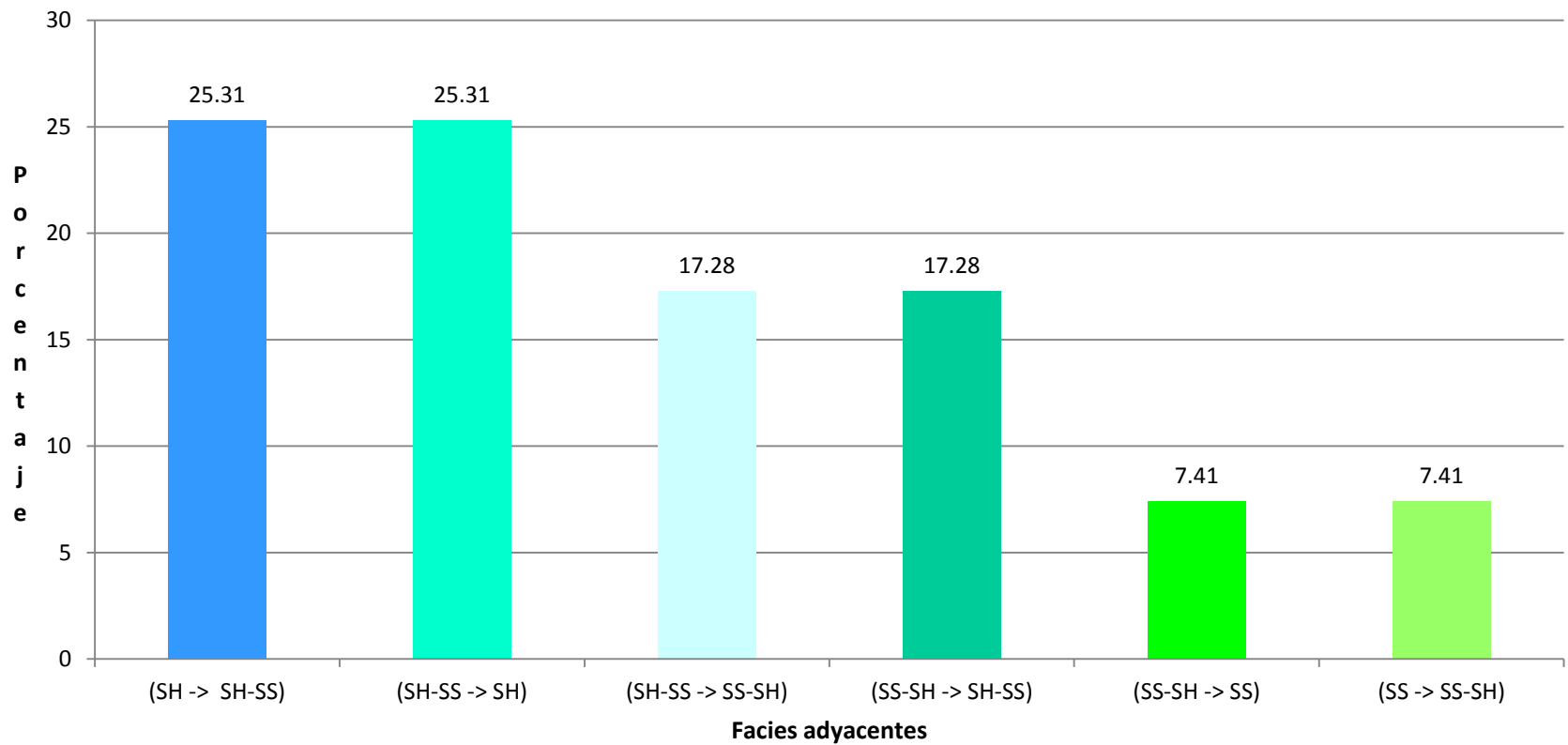
**C-312**





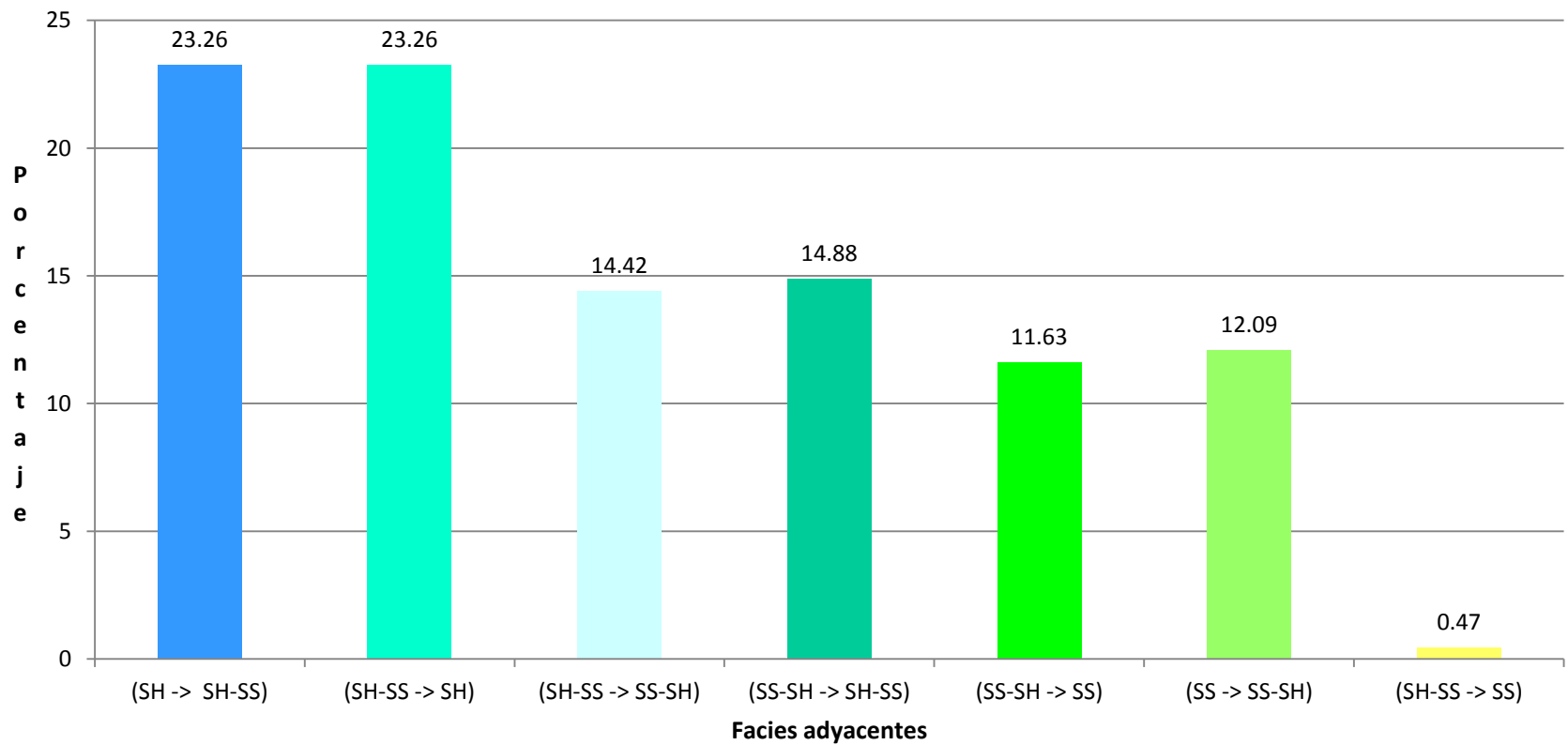
# Comportamiento facies adyacentes

**C-331**



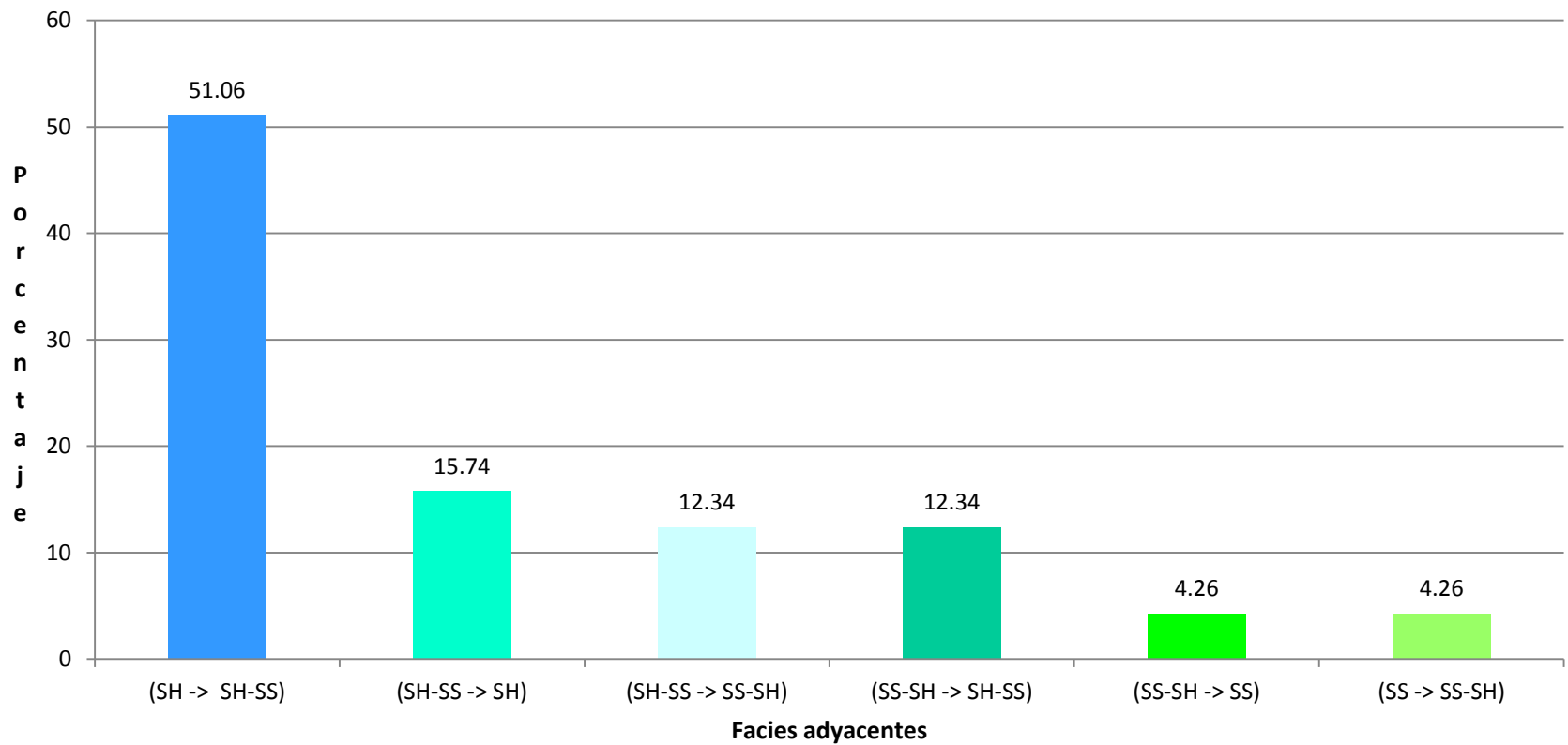
# Comportamiento facies adyacentes

**C-332**



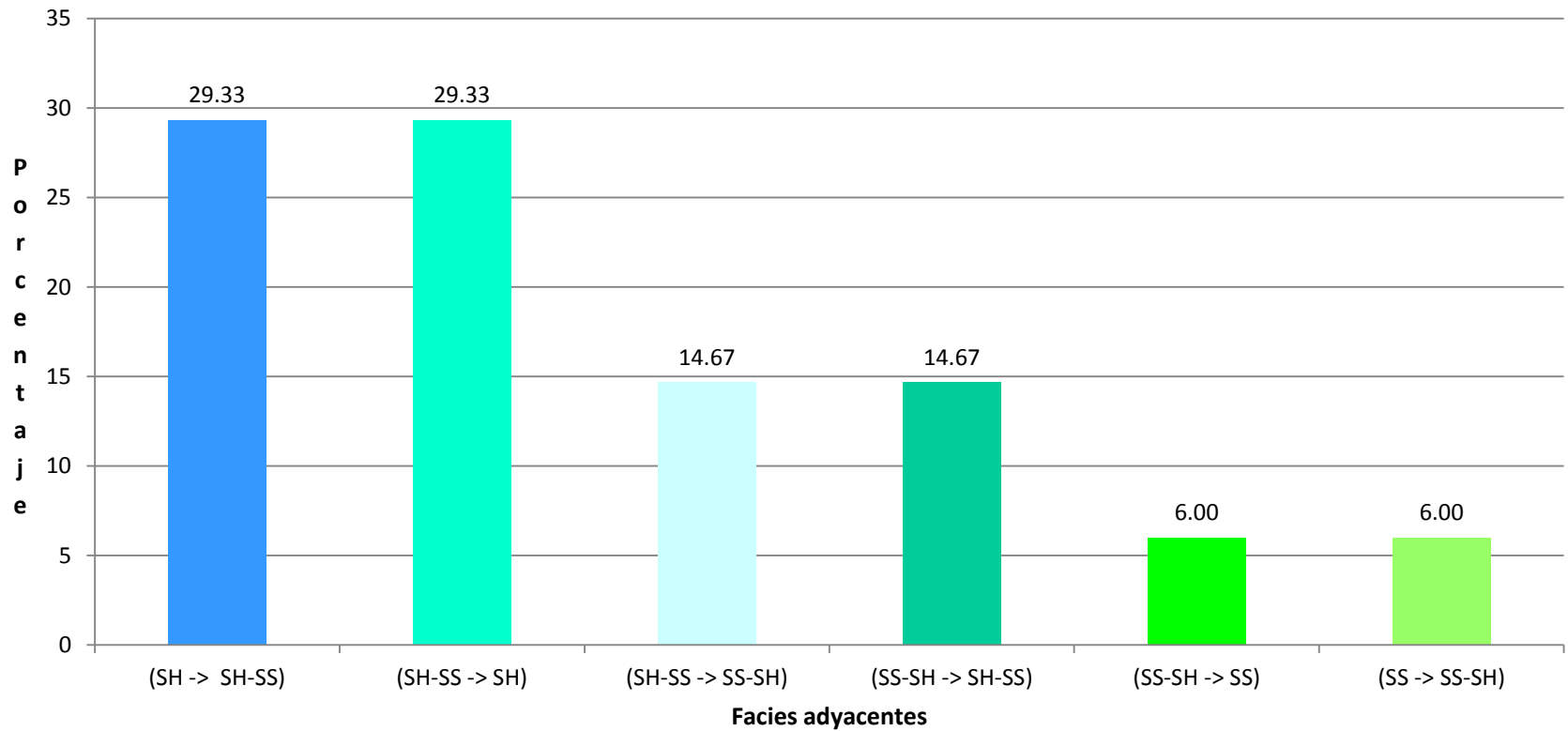
# Comportamiento facies adyacentes

**C-333**



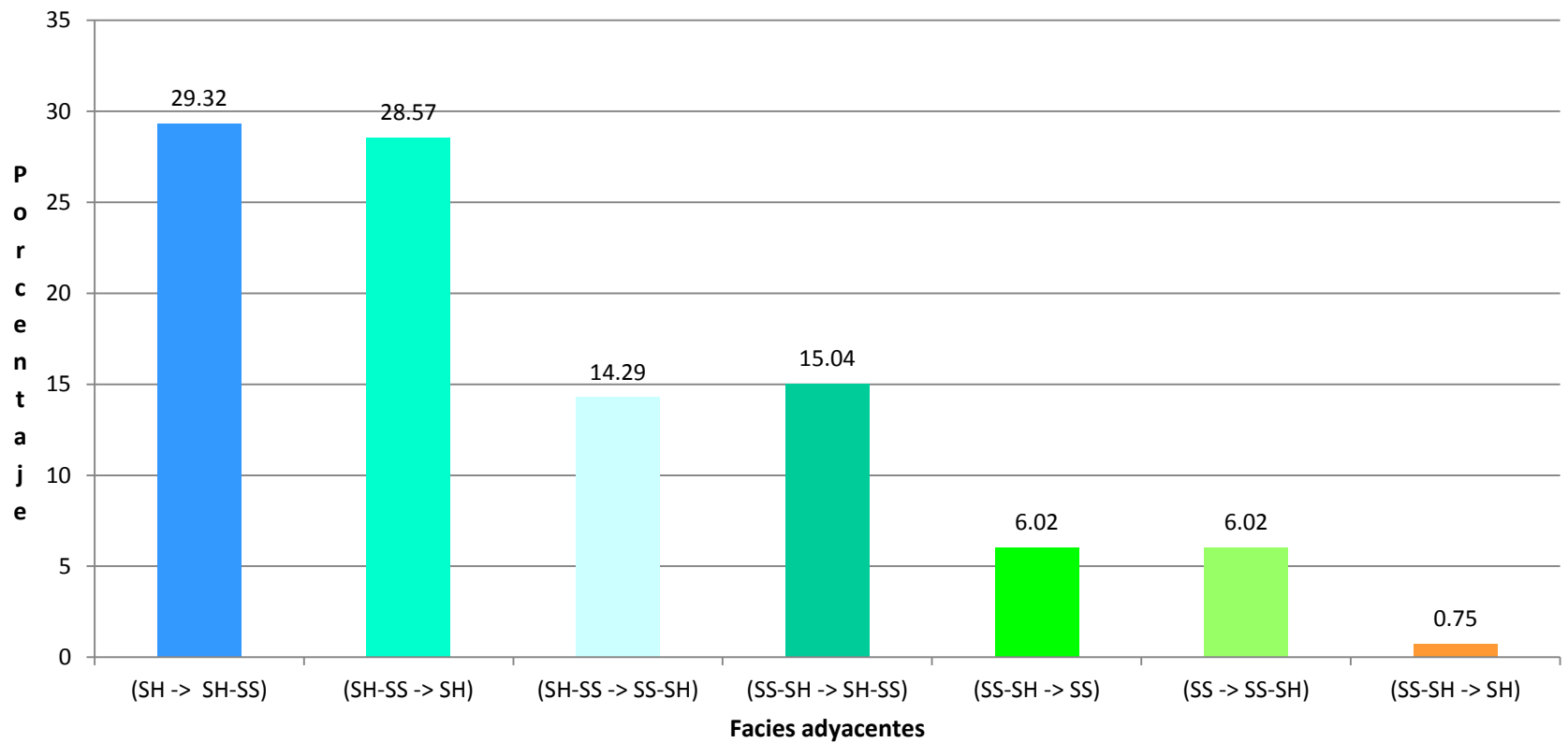
# Comportamiento facies adyacentes

**Facies adyacentes**  
**C-351**



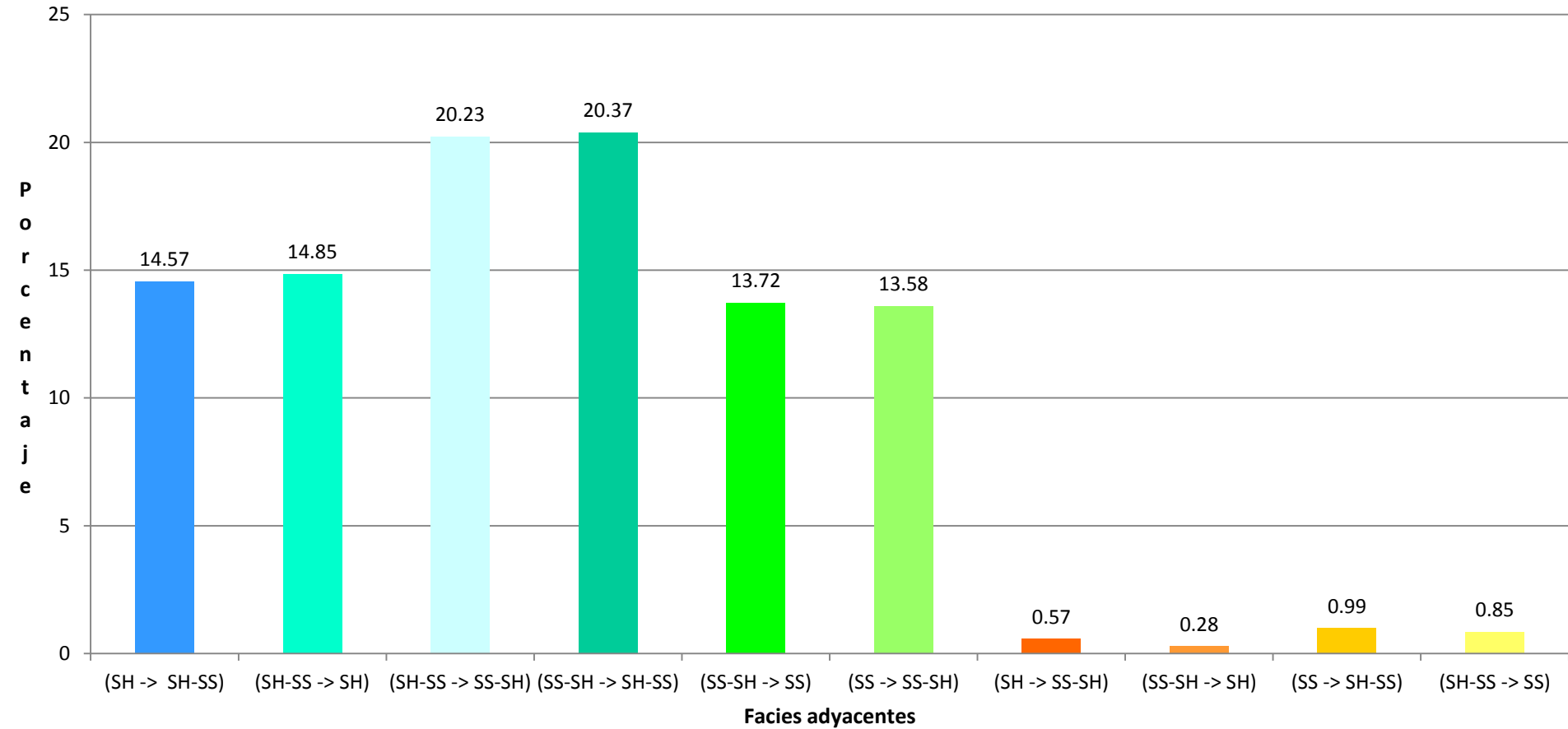
# Comportamiento facies adyacentes

**C-353**



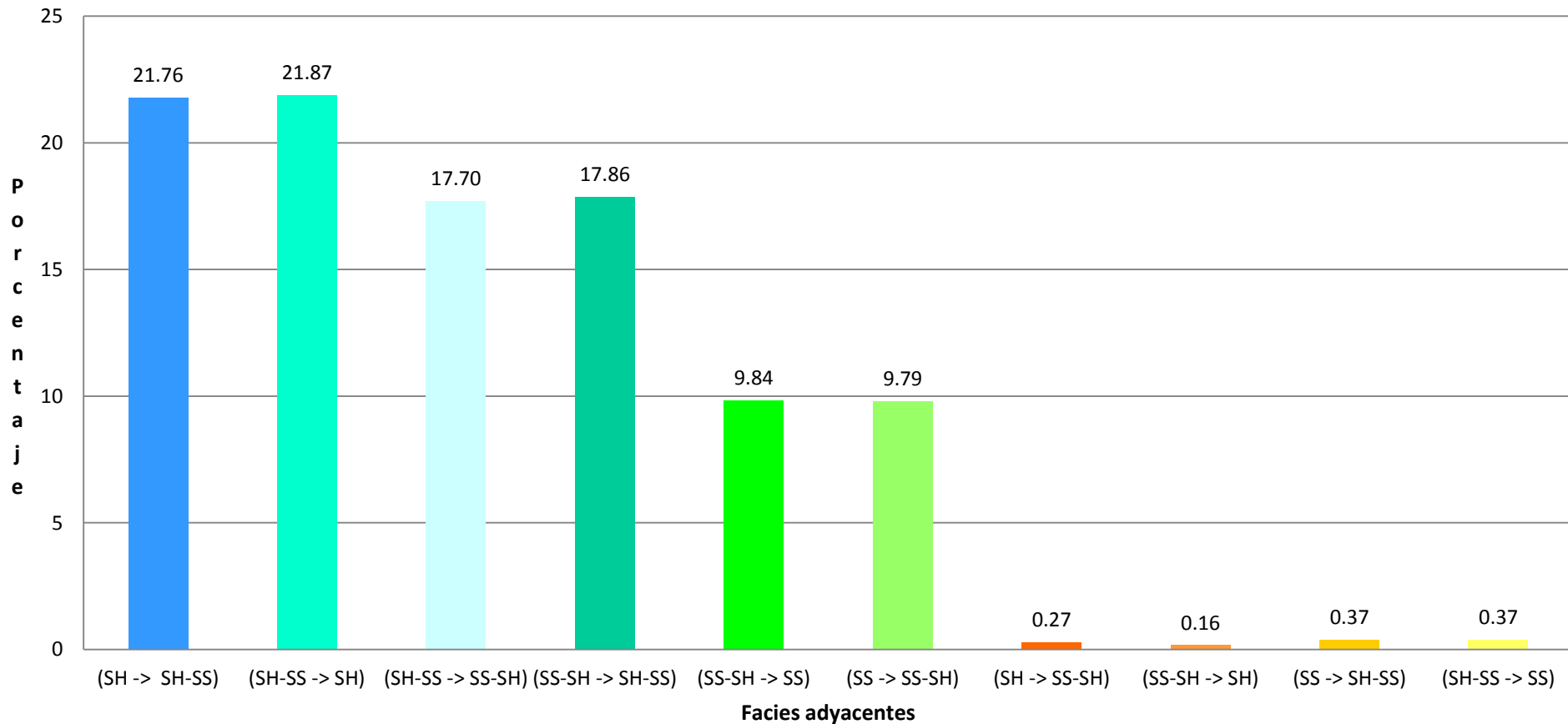
# Comportamiento facies adyacentes

**C-318**



# Comportamiento facies adyacentes

**Todos lo pozos de la Macropera 331, Campo Coyotes, incluyendo pozo vecino C-318**

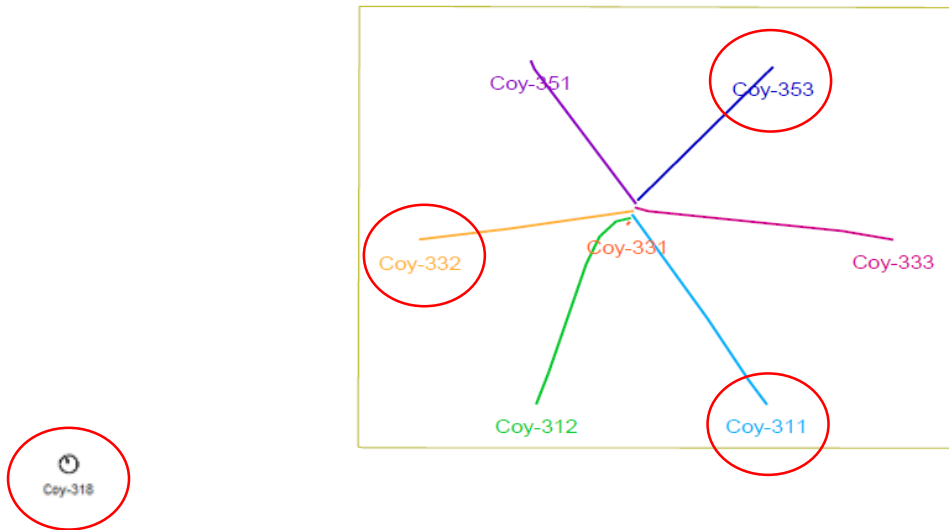


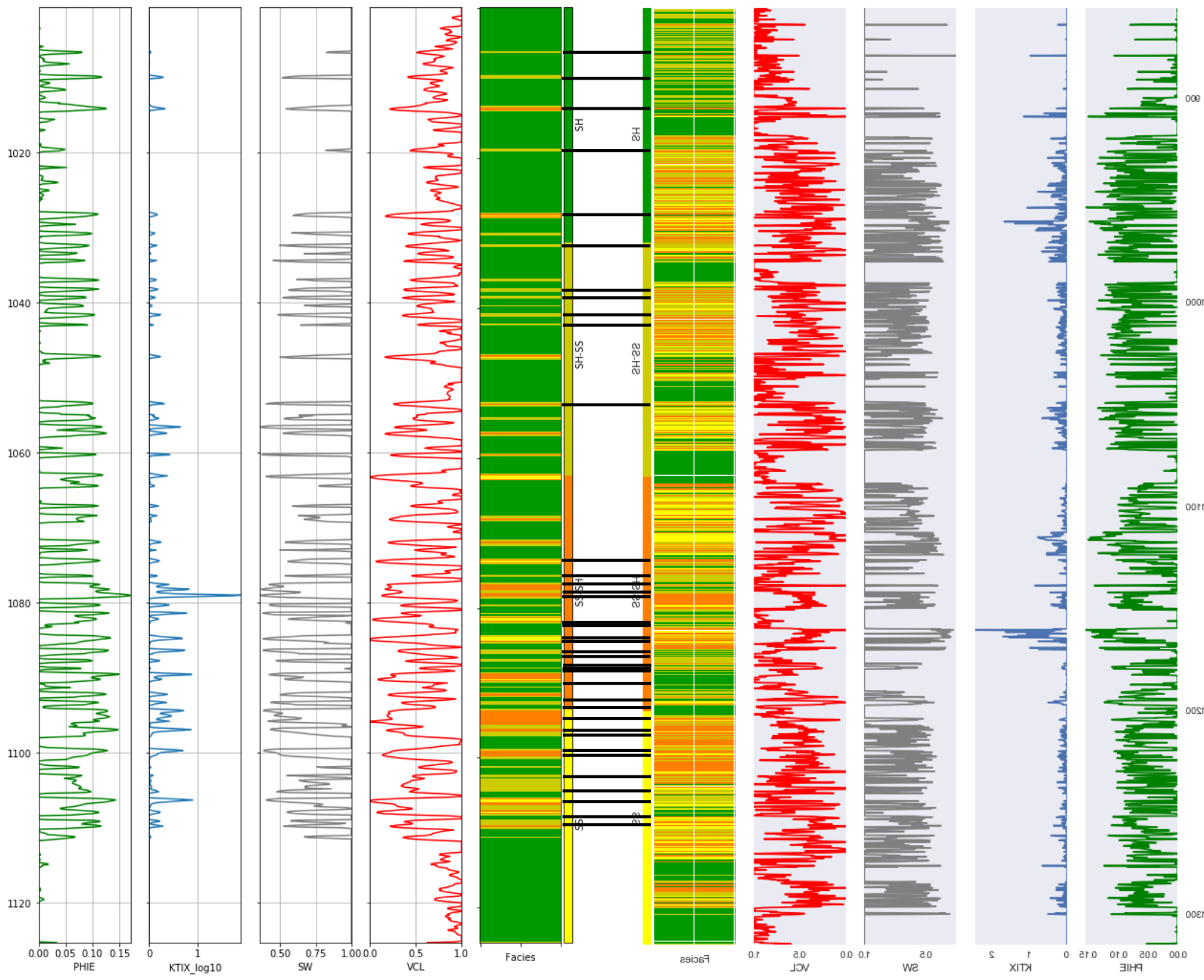
# Facies adyacentes

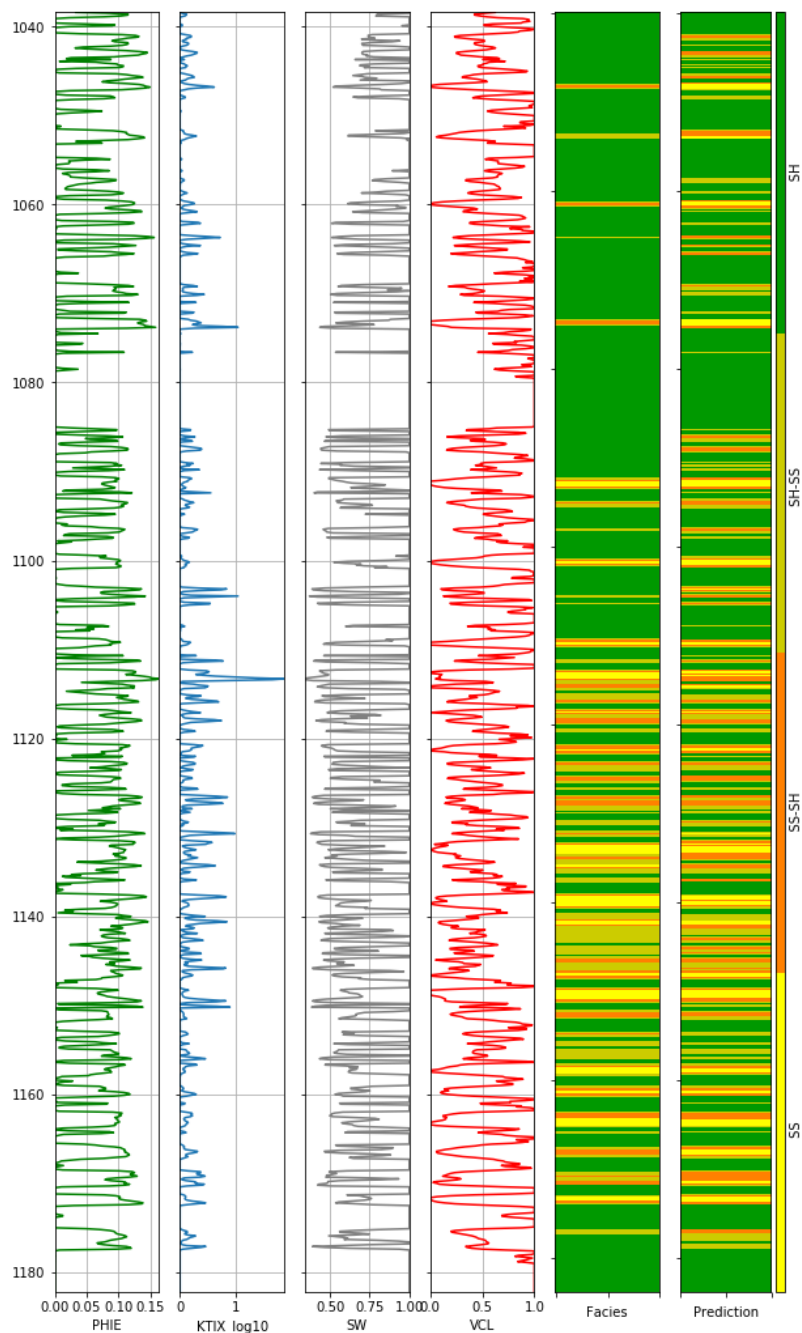
No	Simbología	Facies adyacente	%
1	SS	2	21.76
2	SS-SH	1,3	21.87, 17.70
3	SH-SS	2,4	17.86, 9.84
4	SH	3	9.79



**Predicción de los pozos: C-311, C-332, C-353 y C-318, utilizando solamente el pozo C-351 para el entrenamiento**

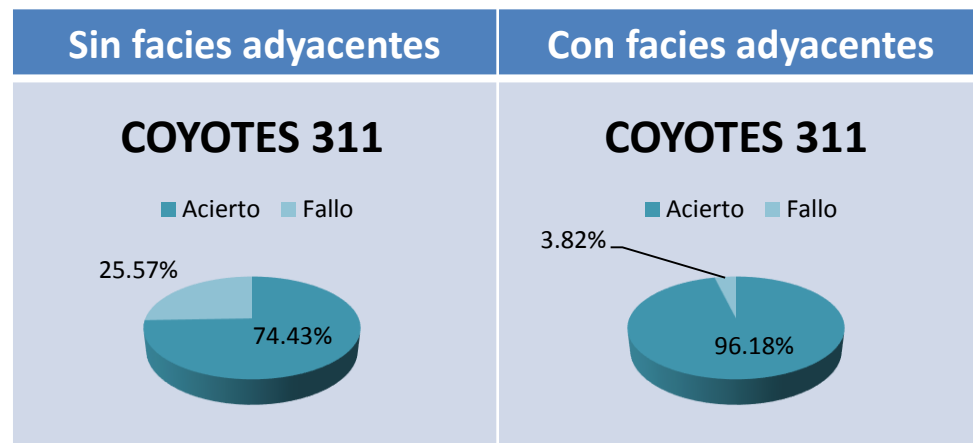






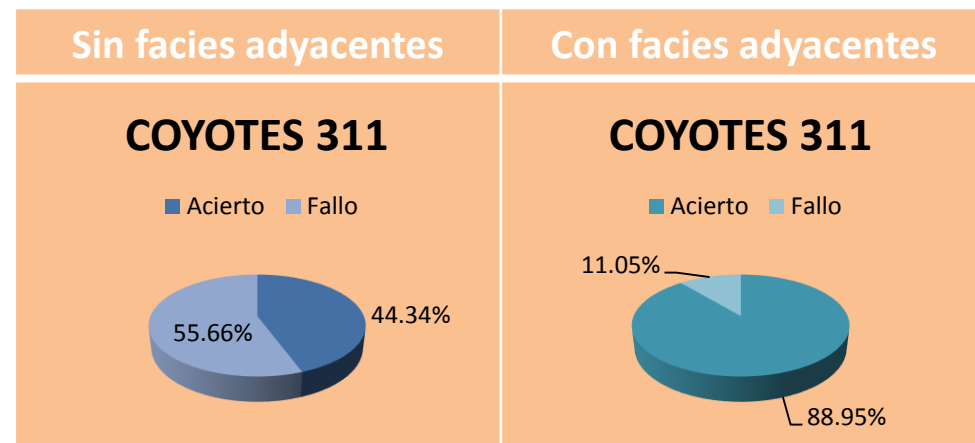
## Predicción de C-311

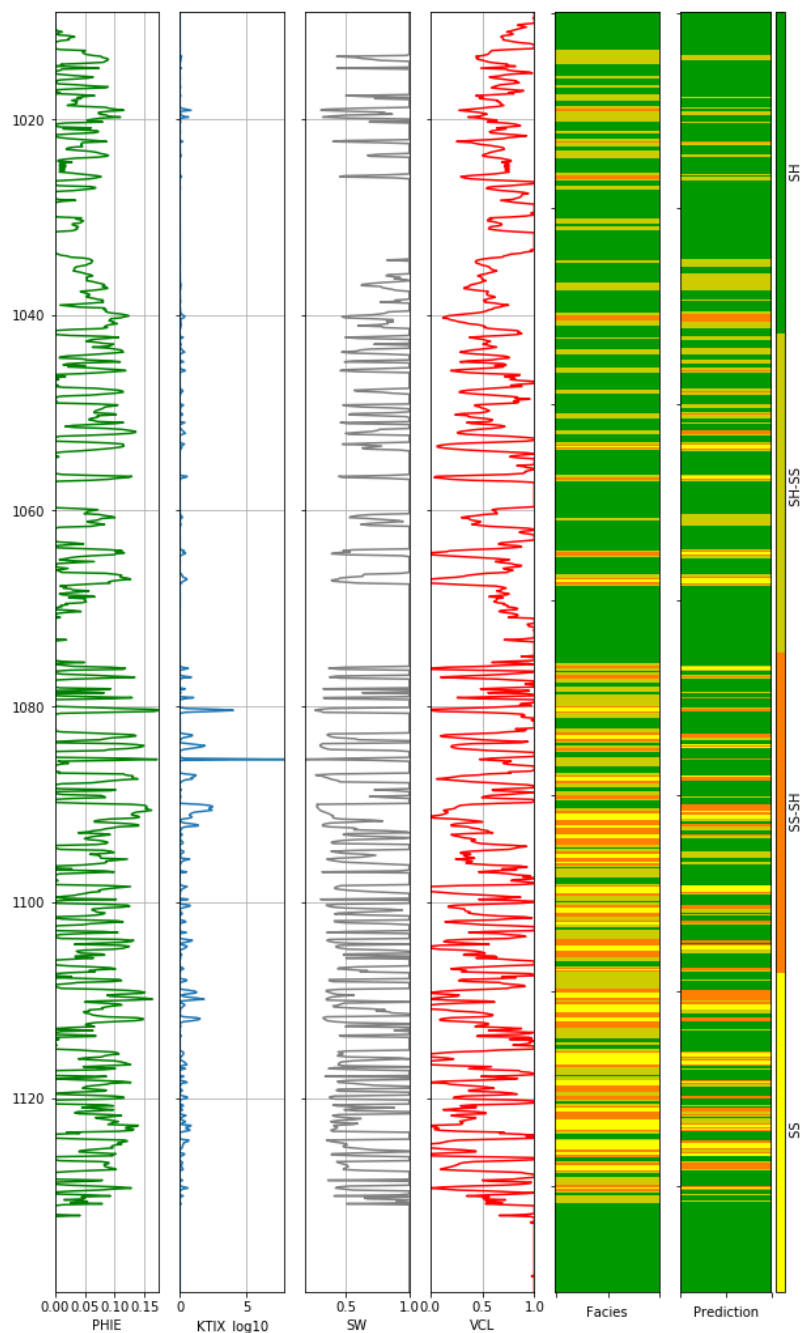
### Entrenamiento: C-351



## Predicción de C-311

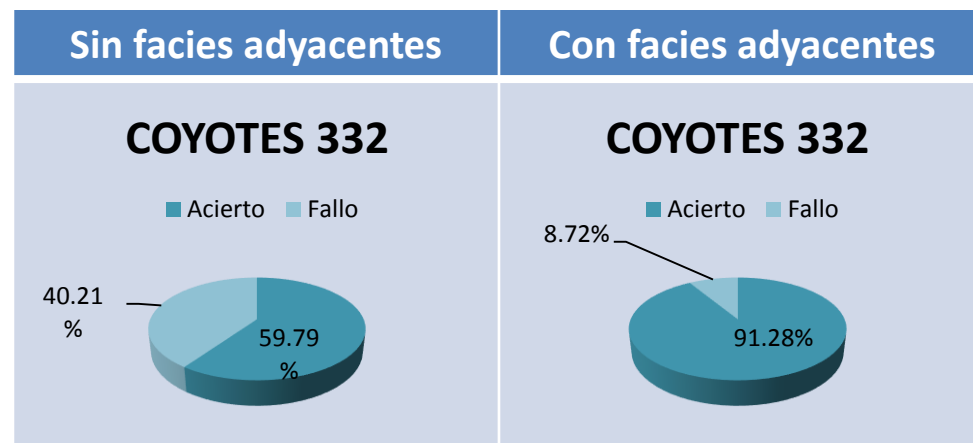
### Entrenamiento: C-318





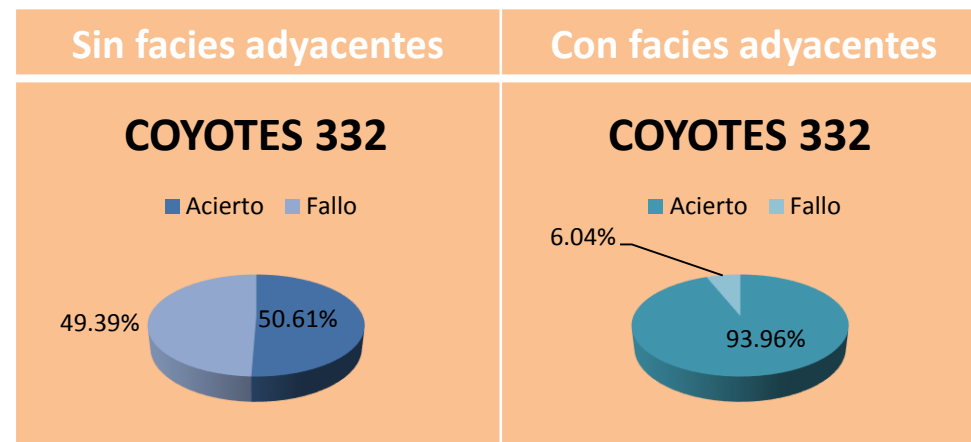
## Predicción de C-332

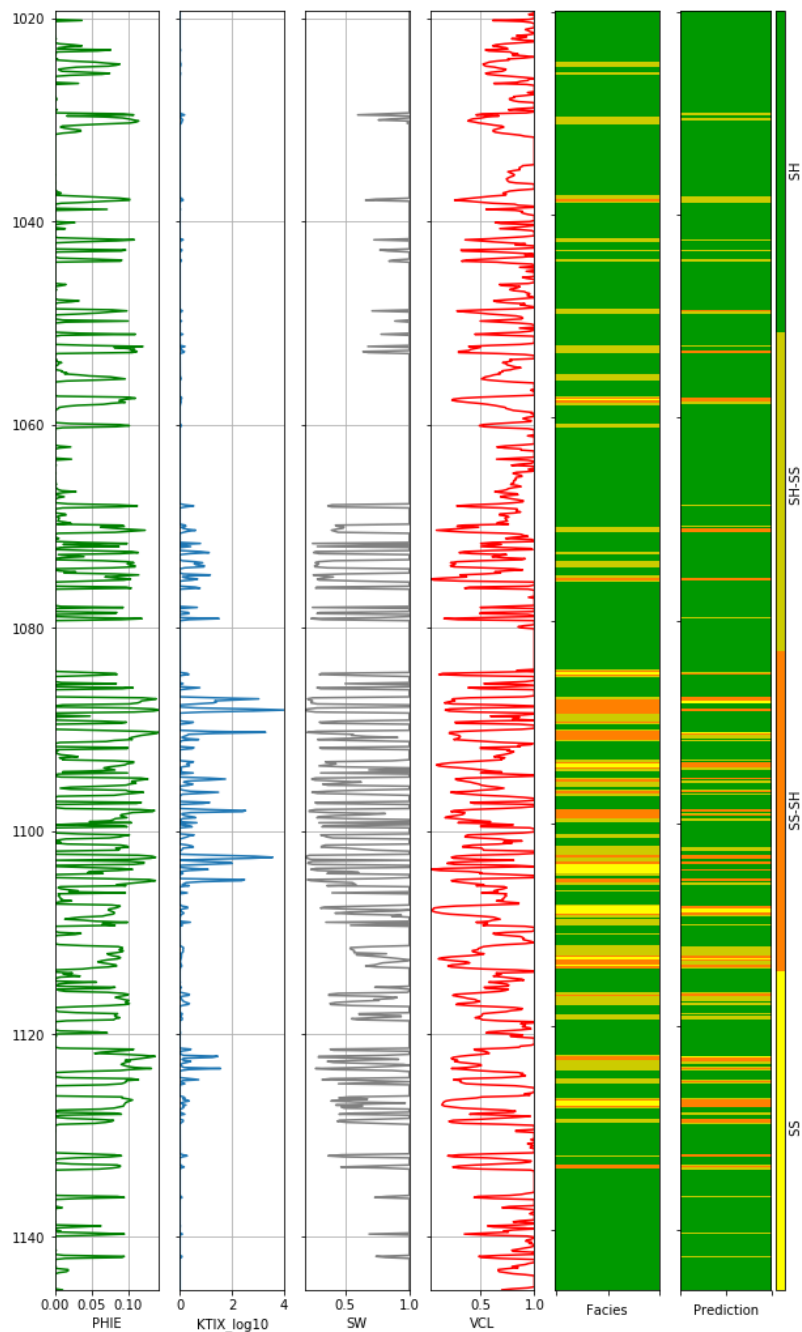
### Entrenamiento: C-351



## Predicción de C-332

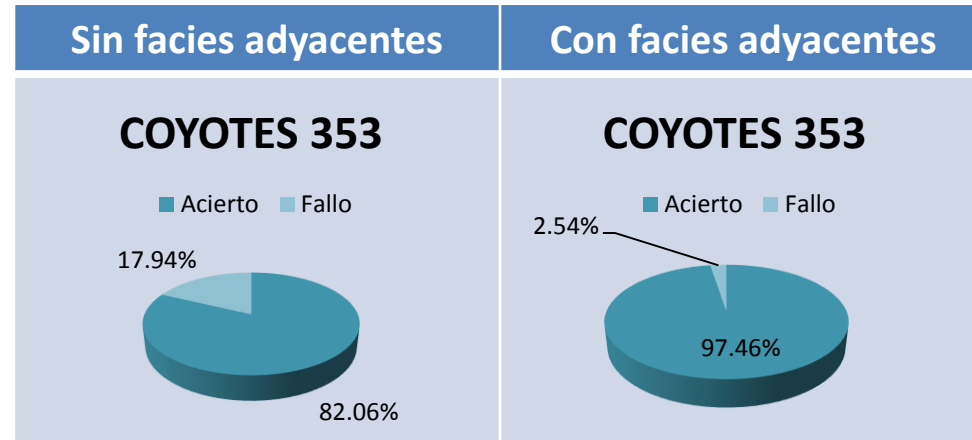
### Entrenamiento: C-318





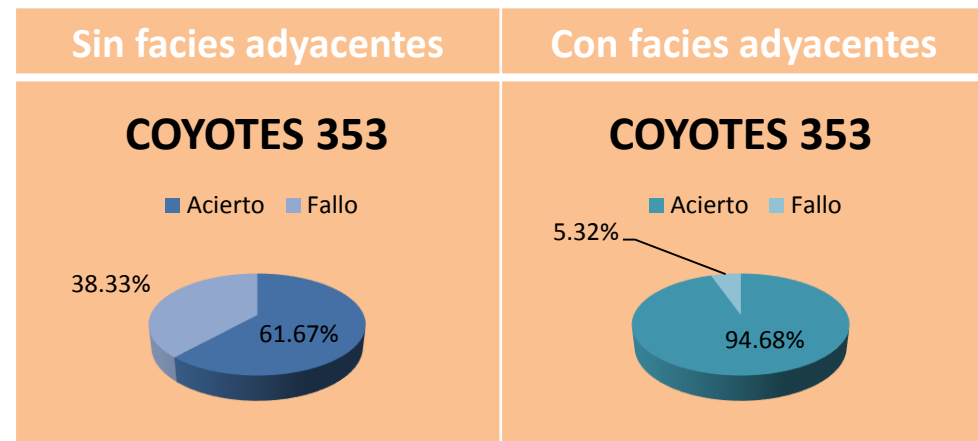
## Predicción de C-353

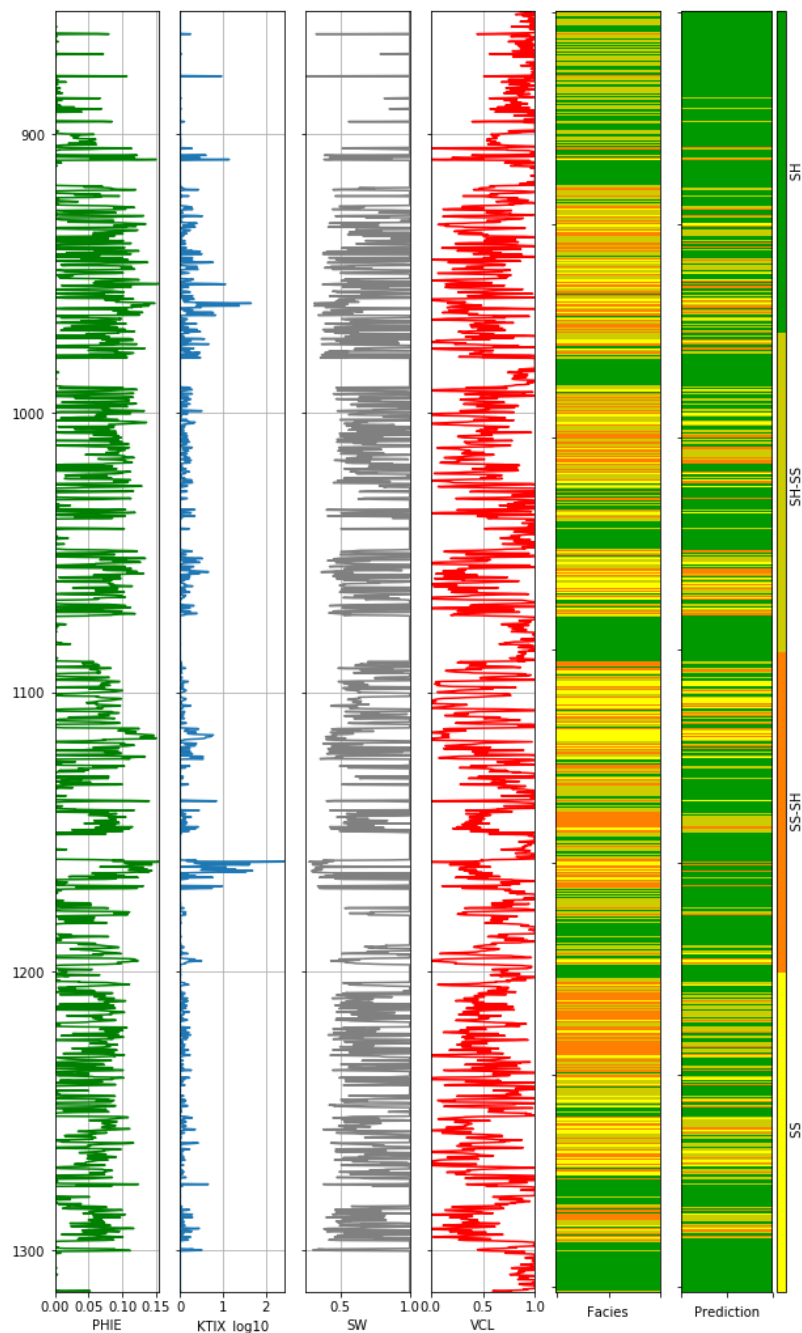
### Entrenamiento: C-351



## Predicción de C-353

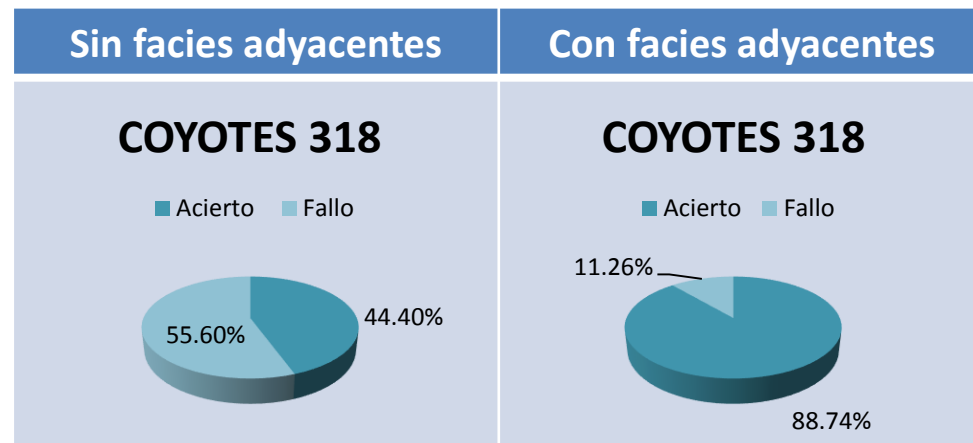
### Entrenamiento: C-318





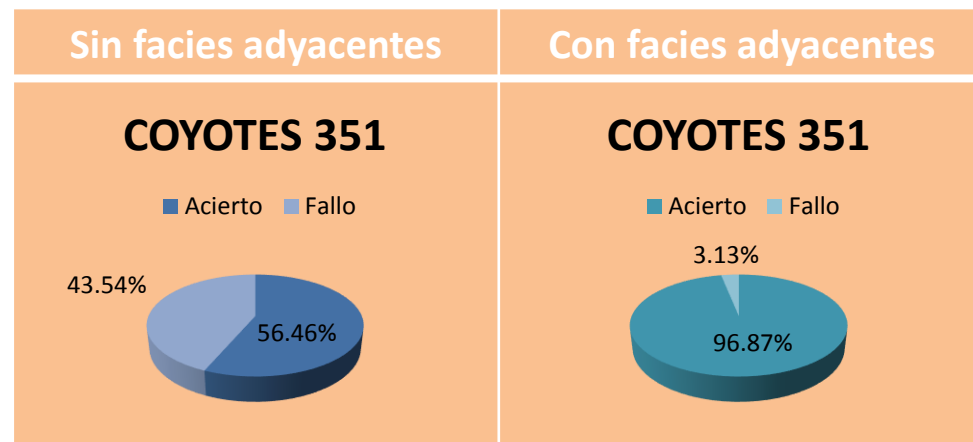
## Predicción de C-318

### Entrenamiento: C-351



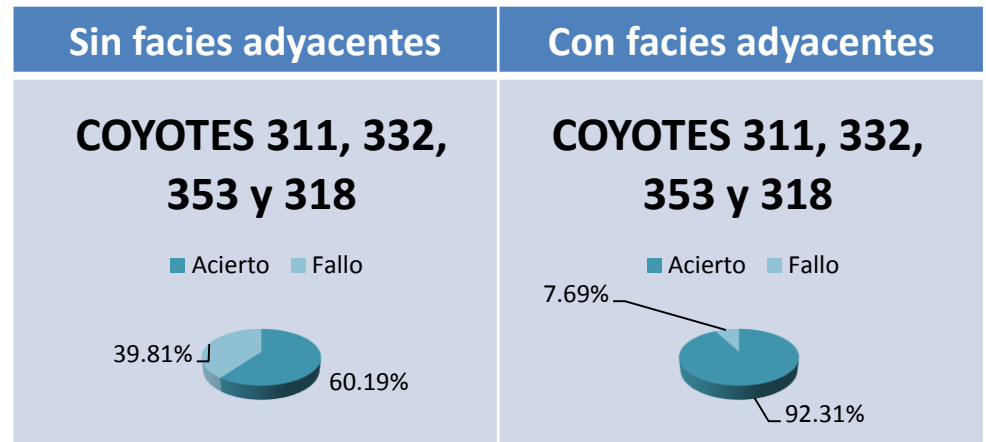
## Predicción de C-351

### Entrenamiento: C-318



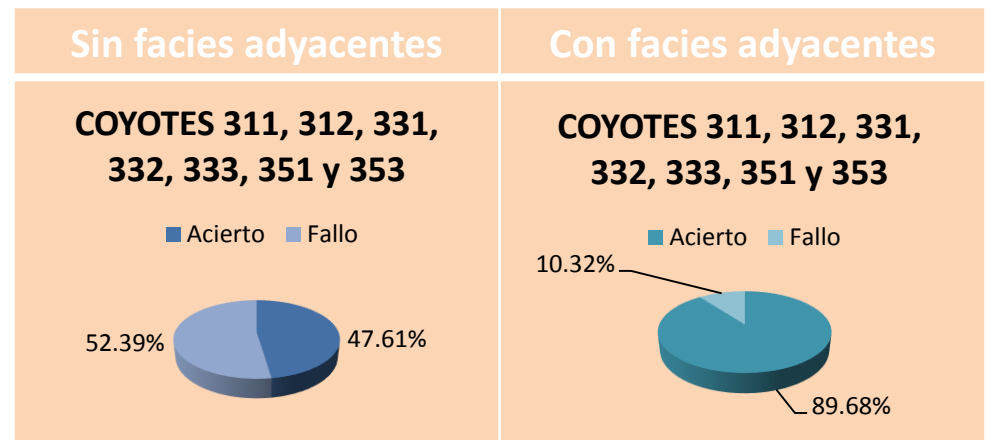
**Predicción: C-311, C-332, C-353 y C-318**

**Entrenamiento: C-351**



**Predicción: C-311, C-312, C-331, C-332, C-333, C-351 y C-353**

**Entrenamiento: C-318**



# Generación de reporte de resultados

IMP-PREDICT, Versión 1.0

Autores: Dr. Manuel Romero Salcedo, Dr. Martín Díaz, Dr. Raúl del Valle

Gerencia de Geofísica Cuantitativa

Copyright (c) 2017 Instituto Mexicano del Petróleo

Este código se ejecuta usando:

- Python version 3.6.0 | Anaconda 4.3.1 (64-bit) | (default, Dec 23 2016, 11:57:41) [MSC v.1900 64 bit (AMD64)]
- Pandas version 0.19.2
- Matplotlib version 2.0.0

Tabla de datos leídos (extracto):

	<u>Facies</u>	<u>Formation</u>	<u>Well Name</u>	<u>Depth</u>	<u>PHIE</u>	<u>KTIX_log10 \</u>
0	4	<u>Dato formacion</u>	COYOTES 318	856.0776	0.0003	0.0000
1	4	<u>Dato formacion</u>	COYOTES 318	856.2300	0.0001	0.0000
2	4	<u>Dato formacion</u>	COYOTES 318	856.3824	0.0001	0.0000
3	4	<u>Dato formacion</u>	COYOTES 318	856.5348	0.0001	0.0000
4	3	<u>Dato formacion</u>	COYOTES 318	856.6872	0.0001	0.0000
...	...	...	...	...	...	...
12212	4	<u>Dato formacion</u>	COYOTES 353	1144.8000	0.0001	0.0000
12213	4	<u>Dato formacion</u>	COYOTES 353	1144.9000	0.0001	0.0000
12214	4	<u>Dato formacion</u>	COYOTES 353	1145.0000	0.0001	0.0000
12215	4	<u>Dato formacion</u>	COYOTES 353	1145.1000	0.0015	0.0000
12216	4	<u>Dato formacion</u>	COYOTES 353	1145.2000	0.0102	0.0001

	<u>SW</u>	<u>VCL</u>
0	<u>1.0</u>	<u>0.8609</u>
1	<u>1.0</u>	<u>0.9579</u>
2	<u>1.0</u>	<u>0.9252</u>
3	<u>1.0</u>	<u>0.9962</u>
4	<u>1.0</u>	<u>0.9928</u>
...	...	...
12212	<u>1.0</u>	<u>1.0000</u>
12213	<u>1.0</u>	<u>1.0000</u>
12214	<u>1.0</u>	<u>0.9389</u>
12215	<u>1.0</u>	<u>0.7977</u>



# Generación de reporte de resultados

Datos que serán utilizados para verificar el modelo: COYOTES 353

Datos utilizados para el entrenamiento: [COYOTES 351]

Categories (1, object): [COYOTES 351]

Tabla de estadística de los datos utilizados para el entrenamiento

	Facies	Depth	PHIE	KTIX_log10	SW \
count	1247.000000	1247.000000	1247.000000	1247.000000	1247.000000
mean	3.627105	1063.000000	0.031042	0.052729	0.902814
std	0.719820	36.01222	0.042660	0.149154	0.182947
min	1.000000	1000.70000	0.000100	0.000000	0.353700
25%	3.000000	1031.85000	0.000100	0.000000	0.941950
50%	4.000000	1063.00000	0.003000	0.000000	1.000000
75%	4.000000	1094.15000	0.066050	0.018050	1.000000
max	4.000000	1125.30000	0.170800	1.905500	1.000000

VCL

count	1247.000000
mean	0.702795
std	0.265911
min	0.000000
25%	0.511550
50%	0.765800
75%	0.931950
max	1.000000

Conteo de facies:

SS	27
SS-SH	96
SH-SS	192
SH	932

# Generación de reporte de resultados

Tabla de datos de variables predictoras

	PHIE	KTIX_log10	SW	VCL
9710	0.0001	0.0000	1.0	1.0000
9711	0.0001	0.0000	1.0	1.0000
9712	0.0001	0.0000	1.0	1.0000
9713	0.0001	0.0000	1.0	1.0000
9714	0.0001	0.0000	1.0	1.0000
...	...	...	...	...
10952	0.0001	0.0000	1.0	1.0000
10953	0.0001	0.0000	1.0	1.0000
10954	0.0001	0.0000	1.0	1.0000
10955	0.0001	0.0000	1.0	0.9263
10956	0.0332	0.0018	1.0	0.6242

[1247 rows x 4 columns]

Tabla de datos utilizados para verificar el modelo

	Facies	Formation	Well Name	Depth	PHIE	KTIX_log10	SW	VCL
10957	4	Dato_formacion	COYOTES 353	1019.3	0.0001	0.0000	1.0	
10958	4	Dato_formacion	COYOTES 353	1019.4	0.0001	0.0000	1.0	
10959	4	Dato_formacion	COYOTES 353	1019.5	0.0001	0.0000	1.0	
10960	4	Dato_formacion	COYOTES 353	1019.6	0.0001	0.0000	1.0	
10961	4	Dato_formacion	COYOTES 353	1019.7	0.0001	0.0000	1.0	
...	...	...	...	...	...	...	...	...
12212	4	Dato_formacion	COYOTES 353	1144.8	0.0001	0.0000	1.0	
12213	4	Dato_formacion	COYOTES 353	1144.9	0.0001	0.0000	1.0	
12214	4	Dato_formacion	COYOTES 353	1145.0	0.0001	0.0000	1.0	
12215	4	Dato_formacion	COYOTES 353	1145.1	0.0015	0.0000	1.0	
12216	4	Dato_formacion	COYOTES 353	1145.2	0.0102	0.0001	1.0	

	VCL
10957	1.0000
10958	1.0000
10959	0.9874
10960	0.9477
10961	1.0000
...	...
12212	1.0000
12213	1.0000
12214	0.9389
12215	0.7977
12216	0.7012

[1260 rows x 8 columns]

# Generación de reporte de resultados

-----  
Matriz de confusión Cross Validation, considerando facies adyacentes  
-----

<u>Pred</u>	SS	SS-SH	SH-SS	SH	Total
True					
SS	26		1	7	34
SS-SH		63		22	85
SH-SS			191		191
SH		2		948	950

<u>Precision</u>	1.00	0.97	0.99	0.97	0.97
<u>Recall</u>	0.76	0.74	1.00	1.00	0.97
F1	0.87	0.84	1.00	0.98	0.97

Time elapsed: 00:00:34